

# Datations radiocarbone et dendrochronologique

Objektyp: **Chapter**

Zeitschrift: **Cahiers d'archéologie romande**

Band (Jahr): **169 (2018)**

PDF erstellt am: **21.06.2024**

## **Nutzungsbedingungen**

Die ETH-Bibliothek ist Anbieterin der digitalisierten Zeitschriften. Sie besitzt keine Urheberrechte an den Inhalten der Zeitschriften. Die Rechte liegen in der Regel bei den Herausgebern.

Die auf der Plattform e-periodica veröffentlichten Dokumente stehen für nicht-kommerzielle Zwecke in Lehre und Forschung sowie für die private Nutzung frei zur Verfügung. Einzelne Dateien oder Ausdrucke aus diesem Angebot können zusammen mit diesen Nutzungsbedingungen und den korrekten Herkunftsbezeichnungen weitergegeben werden.

Das Veröffentlichen von Bildern in Print- und Online-Publikationen ist nur mit vorheriger Genehmigung der Rechteinhaber erlaubt. Die systematische Speicherung von Teilen des elektronischen Angebots auf anderen Servern bedarf ebenfalls des schriftlichen Einverständnisses der Rechteinhaber.

## **Haftungsausschluss**

Alle Angaben erfolgen ohne Gewähr für Vollständigkeit oder Richtigkeit. Es wird keine Haftung übernommen für Schäden durch die Verwendung von Informationen aus diesem Online-Angebot oder durch das Fehlen von Informationen. Dies gilt auch für Inhalte Dritter, die über dieses Angebot zugänglich sind.

### 3. Datations radiocarbone et dendrochronologique

Anne Schopfer

Les datations obtenues pour les structures présentées dans ce volume, illustrées dans les figures 11 à 13, se répartissent presque équitablement entre le Premier (11 dates) et le Second âge du Fer (10 dates).

Afin de minimiser les risques de contamination (bioturbations, percolations, etc.), nous avons privilégié l'analyse de fragments de charbon prélevés dans le remplissage des structures au moment de la fouille et évité au maximum d'utiliser des paillettes de charbon récoltées après tamisage des sédiments de comblement. Cela explique le faible nombre d'analyses effectuées dans les structures d'habitat du secteur sud (rive gauche), où plusieurs centaines de trous de poteau ont pourtant été fouillés. Dans ces structures, le sédiment a été prélevé, mais les fragments de charbon n'ont pas été isolés sur le terrain.

Pour la **période hallstattienne**, quatre dates proviennent ainsi de trous de poteau appartenant à des ensembles du secteur nord (nos 11, 16, 18, 19), deux de sablières (nos 17 et 20, une dans le secteur nord et l'autre dans le secteur sud), deux sont issues du dépôt du secteur sud (nos 13 et 21) et deux de structures à incinération de la périphérie nord (nos 14-15). Une dernière provient d'une zone de démolition de torchis située sur la rive droite du Pontet (n° 12). Pour la **période laténienne**, les analyses correspondent à un trou de poteau, une fosse, une planche carbonisée et un foyer localisés dans le secteur nord (nos 1, 5, 8 et 9) et à une structure artisanale située dans le secteur sud (n° 4). Un foyer, deux fossés et deux trous de poteau (nos 2, 3 et 6, 7 et 10) ont en outre été analysés

pour la rive droite du Pontet. Une séquence dendrochronologique de 98 cernes a été calée grâce à l'une de ces dates radiocarbone (n° 8), ce qui a permis d'obtenir une date d'abattage « pas antérieure à -228 » pour l'arbre dont est issue la planche carbonisée (rive gauche, secteur nord).

Les datations obtenues pour le **Premier âge du Fer** (nos 11-21) sont peu précises et couvrent pratiquement toute la période (800-450 avant notre ère). Ces résultats, dus au plateau que forme la courbe de calibration pour les dates situées vers 2450 BP, répondent toutefois à nos attentes, puisqu'il s'agissait avant tout de valider l'attribution chronologique des structures, auparavant fondée essentiellement sur la stratigraphie, et à exclure une appartenance aux périodes précédente ou suivante (Bronze final et La Tène/romain). Dans cet ensemble de 11 dates, un groupe plus ancien semble se distinguer (nos 16-21), caractérisé par des pics de probabilité plus nets dans les premières décennies de la période (Hallstatt ancien). Un autre groupe de dates (nos 11-15) présente des courbes moins marquées et des pics de probabilité peu élevés (maxima entre 20 et 40% à 1 sigma). Deux groupes émergent également parmi les datations relatives au **Second âge du Fer**. Le premier (nos 7-10) couvre une période de 200 ans, entre environ 400 et 200 av. J.-C., et le second (nos 2-6) une période plus courte de 150 ans environ, entre 200 et 50 av. J.-C. Comme nous le verrons dans les chapitres consacrés à la présentation des vestiges, ces deux groupes ne se superposent pas directement à une répartition géographique des structures.

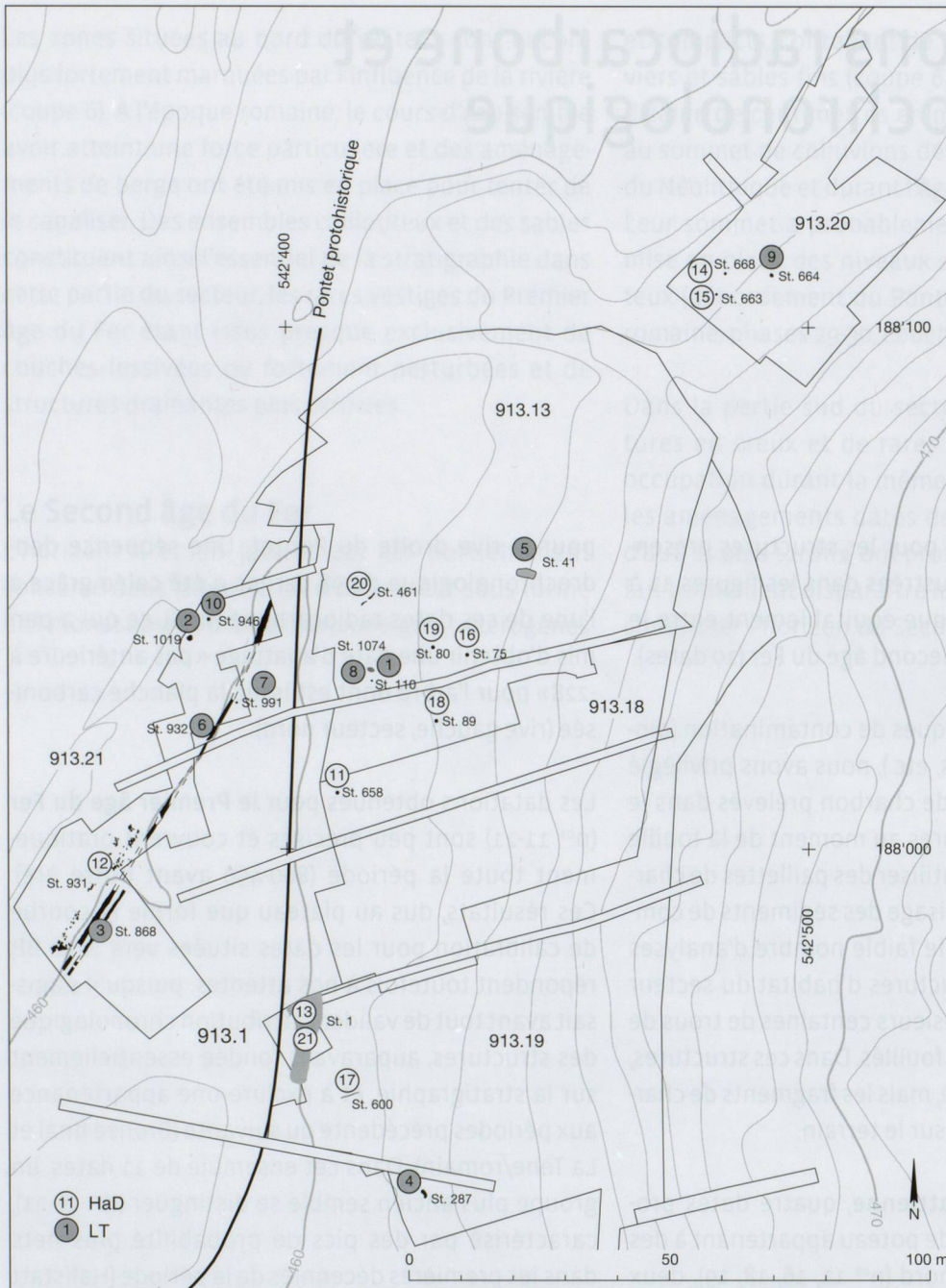


Fig. 11. Onnens-Le Motti. Localisation des charbons analysés par radiocarbone pour les structures de l'âge du Fer.

Les numéros entourés d'un cercle renvoient aux figures 12 et 13. Les cercles blancs correspondent au Premier âge du Fer, ceux sur fond gris au Second âge du Fer.

Fig. 12. Onnens-Le Motti. Tableau synthétique des datations radiocarbone de l'âge du Fer (voir Orcel *et al.* 1998; Hurni *et al.* 2008; Terrier et Hurni 2009; Terrier 2010; Hurni 2013; Terrier et Hurni 2014). La colonne « phase » renvoie au tableau récapitulatif du chapitre 2 (fig. 6).

N°	N° ETH	Contexte	Phase	AMS $^{14}\text{C}$ BP	Age calibré BC 1s	Age calibré BC 2s	Période
1	53745	St. 110	28	2005±29 BP	42 BC-24 AD (68.2 %)	88 BC-76 BC (1.7 %) 56 BC-68 AD (93.7 %)	LTD- 1 <sup>er</sup> siècle ap. J.-C.
2	53738	St. 1019	28	2074±28 BP	155-136 (12.9 %) 115-47 (55.3 %)	178-36 (92.2 %) 31-20 (1.6 %) 11-2 (1.7 %)	LTC2-LTD2
3	49188	St. 868	28	2077±28 BP	155-135 (14.1 %) 115-50 (54.1 %)	182-37 (93.3 %) 29-22 (0.8 %) 10-2 (1.2 %)	LTC2-LTD2
4	53739	St. 287	28	2098±29 BP	168-91 (61.5 %) 70-61 (6.7 %)	196-47 (95.4 %)	LTC2-LTD2
5	53743	St. 41	28	2110±29 BP	181-92 (68.2 %)	202-48 (95.4 %)	LTC1-LTD2
6	35034	St. 932	28	2130±55 BP	347-320 (9.3 %) 206-88 (52.6 %) 76-57 (6.3 %)	360-270 (21.0 %) 264-40 (74.4 %)	LTB1-LTD2
7	35035	St. 991	28	2215±55 BP	363-344 (9.3 %) 324-205 (58.9 %)	398-161 (94.4 %) 131-119 (1.0 %)	LTB1-LTD1
8	ARC1828	13836-2	28	2220±40 BP	361-350 (6.8 %) 312-209 (61.4 %)	387-197 (95.4 %)	LTB1-LTC2
9	37021	St. 664	28	2240±35 BP	380-352 (17.5 %) 297-228 (45.4 %) 221-211 (5.3 %)	392-341 (25.9 %) 327-204 (69.5 %)	LTB1-LTC1
10	35036	St. 946	28	2270±55 BP	399-353 (29.7 %) 295-229 (35.5 %) 220-213 (3.0 %)	411-185 (95.4 %)	LTA-LTC2
11	49192	St. 658	26	2465±28 BP	751-683 (27.7 %) 668-637 (12.5 %) 624-615 (2.7 %) 591-516 (25.4 %)	764-473 (91.3 %) 465-431 (4.1 %)	HaC1-LTA
12	49189	St. 931 TCA3	26	2478±28 BP	755-727 (11.2 %) 719-705 (4.8 %) 695-680 (5.7 %) 670-608 (24.4 %) 596-541 (22.2 %)	772-485 (95.4 %)	HaC1-HaD2/D3
13	16269	St. 1	26	2505±50 BP	777-731 (16.5 %) 691-660 (11.5 %) 651-544 (40.2 %)	796-477 (93.6 %) 462-456 (0.5 %) 445-431 (1.3 %)	HaC1-LTA
14	37022	St. 668	26	2510±35 BP	773-745 (13.7 %) 686-665 (10.6 %) 644-552 (43.9 %)	794-536 (95.1 %) 527-524 (0.3 %)	HaC1-HaD2/D3
15	37020	St. 663	26	2520±35 BP	786-747 (19.6 %) 685-666 (9.8 %) 642-556 (38.8 %)	795-701 (31.7 %) 696-540 (63.7 %)	HaC1-HaD1
16	41049	St. 75	26	2550±35 BP	799-751 (44.3 %) 683-668 (8.2 %) 636-626 (4.0 %) 614-591 (11.6 %)	804-734 (48.5 %) 690-662 (11.2 %) 649-546 (35.7 %)	HaB3-HaD1
17	39543	St. 600	26	2555±40 BP	801-750 (41.7 %) 683-668 (7.9 %) 638-590 (18.6 %)	808-730 (47.7 %) 692-659 (11.4 %) 651-543 (36.4 %)	HaB3-HaD1
18	41436	St. 89	26	2565±35 BP	803-755 (58.9 %) 680-671 (4.7 %) 606-596 (4.6 %)	808-744 (62.5 %) 686-665 (8.0 %) 645-551 (24.9 %)	HaB3-HaD1
19	41048	St. 80	26	2565±35 BP	803-755 (58.9 %) 680-671 (4.7 %) 606-596 (4.6 %)	808-744 (62.5 %) 686-665 (8.0 %) 645-551 (24.9 %)	HaB3-HaD1
20	53741	St. 461	26	2594±29 BP	805-780 (68.2 %)	821-759 (95 %) 678-674 (0.4 %)	HaB3-HaD1
21	16268	St. 1	26	2625±50 BP	839-772 (68.2 %)	907-750 (89.5 %) 684-668 (1.7 %) 638-590 (3.8 %) 576-571 (0.3 %)	HaB3-HaD1

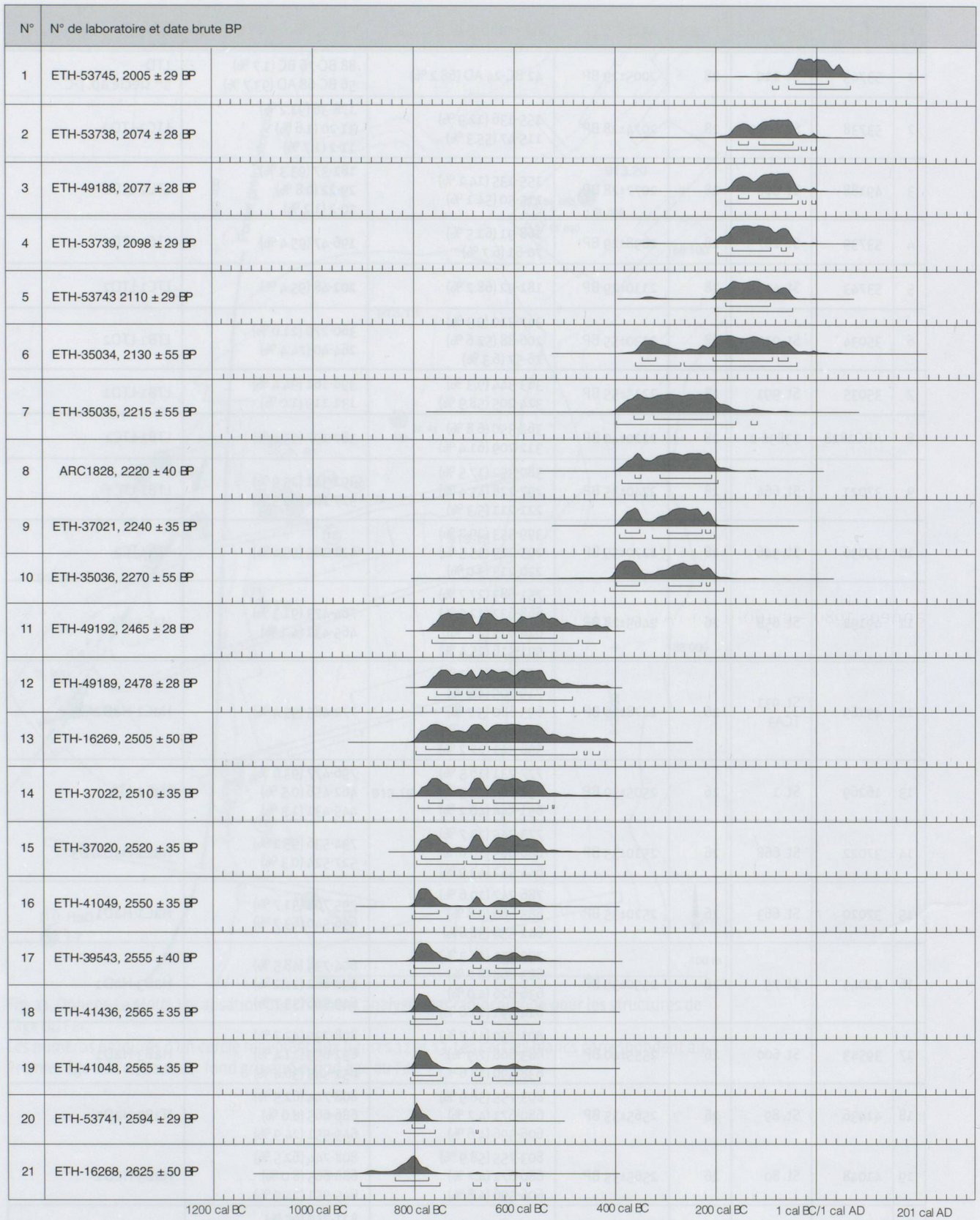


Fig. 13. Onnens-Le Motti. Graphiques des probabilités des datations radiocarbone de l'âge du Fer. Programme OxCal v4.2.3 (Bronk Ramsey et al. 2013); r:5; IntCal13 atmospheric curve (Reimer et al. 2013).